

## АДАПТАЦИЯ $(h, T)$ -ДАННЫХ ДЛЯ РАСЧЕТА НЕКОТОРЫХ ТЕРМОДИНАМИЧЕСКИХ СВОЙСТВ $SF_6$ НА КРИВОЙ НАСЫЩЕНИЯ

**Е.Е. Устюжанин** — Национальный исследовательский университет «МЭИ», Москва, Россия. ORCID: 0000-0001-8919-9797. Эл. почта: evgust@gmail.com (для переписки)

**В.Ф. Очков** — Национальный исследовательский университет «МЭИ», Москва, Россия. Эл. почта: ochkov@twt.mpei.ac.ru

**С.В. Рыков** — Университет ИТМО, Санкт-Петербург, Россия. ORCID: 0000-0003-0428-9625. Эл. почта: togg1@yandex.ru

**И.В. Кудрявцева** — Университет ИТМО, Санкт-Петербург, Россия. ORCID: 0000-0002-7718-9660. Эл. почта: neva0175@mail.ru

**В.А. Рыков** — Университет ИТМО, Санкт-Петербург, Россия. ORCID: 0000-0003-4694-6590. Эл. почта: rykov-vladimir@rambler.ru

© 2024 г. Поступила в редакцию 11.10.2023 г. Прошла рецензирование 30.10.23.

Принята к публикации 30.10.23.

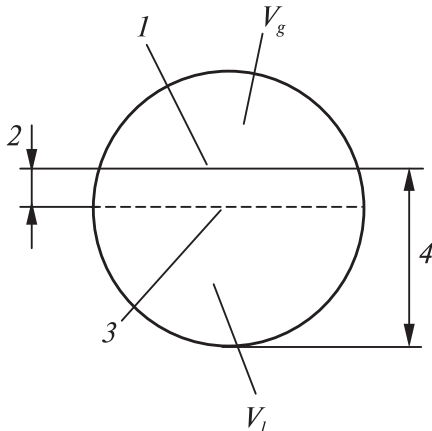
Представлена информация о поведении плотности  $SF_6$  на бинодали в асимптотической окрестности критической точки  $3 \cdot 10^{-6} < \tau < 2 \cdot 10^{-4}$ , где  $\tau = (T_c - T)/T_c$  — относительная температура,  $T_c$  — критическая температура. Плотности жидкой ( $\rho_l$ ) и паровой ( $\rho_g$ ) фаз рассчитаны на основании экспериментальных данных Garrabos с соавт. (2018) о высоте  $h$ , на которой находится мениск, разделяющий две фазы образца в горизонтальной ячейке диаметром  $d$  при температуре  $T$  в условиях земной гравитации. В качестве второго компонента метода рассматривается параметр порядка  $f_s(\tau)$  в аналитической форме, которая соответствует масштабной теории (МТ) критических явлений и опирается на  $(\rho_l, \rho_g, T)$ -данные Funke с соавт. (1998) для  $SF_6$  в интервале  $10^{-3} < \tau < 0,3$ . Сформулирован ряд задач, включая построение зависимостей  $\rho_l(\tau)$  и  $\rho_g(\tau)$ , отвечающих МТ и коррелирующих с  $(h, T)$ -данными при  $10^{-6} < \tau < 10^{-3}$ . Исследована взаимосвязь между  $(h, T)$ -данными и функциями  $f_s(\tau)$  и  $f_d(\tau)$  ( $f_d$  — средний или прямолинейный диаметр). Рассчитаны зависимости  $\rho_l$  и  $\rho_g$  от температуры в интервале  $10^{-6} < \tau < 10^{-3}$ . Построены зависимости  $\rho_l(\tau)$  и  $\rho_g(\tau)$ , отвечающие МТ и удовлетворительно работающие в интервале  $10^{-6} < \tau < 10^{-3}$ .

**Ключевые слова:** линия насыщения, плотность, шестифтористая сера, параметр порядка, прямолинейный диаметр.

### ВВЕДЕНИЕ

Цель данного исследования заключается в получении информации о поведении плотности  $SF_6$  на бинодали в асимптотической окрестности критической точки  $3 \cdot 10^{-6} < \tau < 2 \cdot 10^{-4}$ , где  $\tau = (T_c - T)/T_c$  — относительная температура,  $T_c$  — критическая температура. Для ее достижения разработан методический подход, позволяющий рассчитывать плотности жидкой ( $\rho_l$ ) и паровой ( $\rho_g$ ) фаз на основании экспериментальных данных Garrabos с соавт. [1] о высоте  $h$ , на которой находится мениск, разделяющий две фазы образца в горизонтальной ячейке. В эксперименте реализованы следующие условия:

а) двухфазный образец  $SF_6$  заполняет горизонтальную цилиндрическую ячейку, имеющую диаметр  $d$  (рис. 1);



**Рис. 1.** Сечение ячейки с двухфазным образцом SF<sub>6</sub>:

1 — мениск; 2 — высота  $h$ ; 3 — положение плоскости  $S_v$ ; 4 — высота  $h_g$ ;  $V_g$  и  $V_l$  — верхняя и нижняя части ячейки соответственно

туальную горизонтальную плоскость  $S_v$  вдоль оси ячейки [1] (рис. 1). Уровень этой плоскости принимаем за  $h_0 = 0$  (позиция 3, рис. 1). В ячейке выделяем верхнюю  $V_g$  и нижнюю  $V_l$  части, которые имеют объемы  $V/2$  ( $V$  — объем ячейки) при  $h = h_0 = 0$ .

В опытах [1] на ряде изотерм  $T < T_c$  измеряют значения  $h$ . Во время эксперимента мениск может находиться выше плоскости  $S_v$ ; тогда выполняется неравенство  $h > 0$  (позиция 1, рис. 2). Численные результаты эксперимента [1] могут быть выражены в виде функции  $y = 2h/d$  с аргументами  $T$  и  $\Delta T = T - T_c$ ; эта функция представлена в табл. 1 в виде некоторых определенных из эксперимента значений  $y_{exp}$ . Отметим, что в [1]  $(\rho_l, \rho_g, T)$ -данные не определялись. В [1] приведены:

- критические параметры SF<sub>6</sub> ( $T_c = 318,723 \pm 0,001$  K,  $\rho_c = 742,0 \pm 1,5$  кг/м<sup>3</sup>;
- $T_{CX} = 318,707270$  K — расчетная температура, отмеченная на рис. 2 точкой  $c$ ; относится к линии насыщения и отвечает линии постоянной плотности

б) температура  $T$  ячейки поддерживается постоянной в заданных состояниях вблизи критической температуры  $T_c$  и измеряется платиновым термодатчиком;

в) положение (высота  $h$ ) мениска измеряется оптической системой;

г) зависимость  $h(T)$  является известной функцией, заданной в приводимой ниже форме;

д) эксперимент проводится в условиях земной гравитации ( $g = 9,8$  м/с<sup>2</sup>).

В основе обсуждаемого подхода лежит функция  $h(T)$ , исследованная для SF<sub>6</sub> в [1]. Из массива данных  $(\rho_l, \rho_g, T)$ , которые обсуждаются в [1–9], выделены экспериментальные результаты, полученные в [3] и [6] (рис. 2). Они сопоставляются с  $(h, T)$ -данными [1].

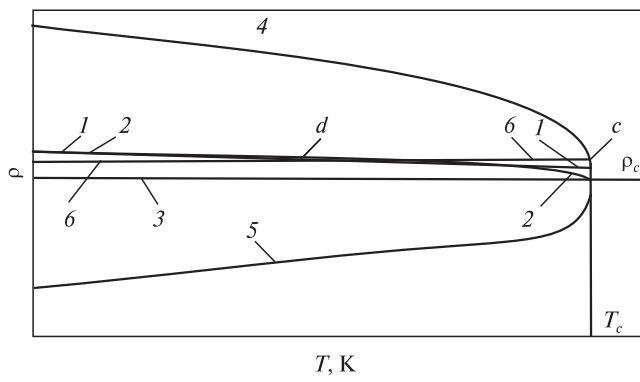
Для установления связи между  $(\rho_l, \rho_g, T)$ -данными и  $(h, T)$ -данными помещаем вир-

туальную горизонтальную плоскость  $S_v$  вдоль оси ячейки [1] (рис. 1). Уровень

этой плоскости принимаем за  $h_0 = 0$  (позиция 3, рис. 1). В ячейке выделяем верхнюю  $V_g$  и нижнюю  $V_l$  части, которые имеют объемы  $V/2$  ( $V$  — объем ячейки) при  $h = h_0 = 0$ .

В опытах [1] на ряде изотерм  $T < T_c$  измеряют значения  $h$ . Во время эксперимента мениск может находиться выше плоскости  $S_v$ ; тогда выполняется неравенство  $h > 0$  (позиция 1, рис. 2). Численные результаты эксперимента [1] могут быть выражены в виде функции  $y = 2h/d$  с аргументами  $T$  и  $\Delta T = T - T_c$ ; эта функция представлена в табл. 1 в виде некоторых определенных из эксперимента значений  $y_{exp}$ . Отметим, что в [1]  $(\rho_l, \rho_g, T)$ -данные не определялись. В [1] приведены:

- критические параметры SF<sub>6</sub> ( $T_c = 318,723 \pm 0,001$  K,  $\rho_c = 742,0 \pm 1,5$  кг/м<sup>3</sup>;
- $T_{CX} = 318,707270$  K — расчетная температура, отмеченная на рис. 2 точкой  $c$ ; относится к линии насыщения и отвечает линии постоянной плотности



**Рис. 2.** Бинодаль SF<sub>6</sub> в координатах  $(\rho, T)$ :

1 — средняя плотность  $D_m$  по данным [8]; 2 — средняя плотность  $D_m$  по данным [6]; 3 — изохора  $\rho = \rho_c$ , 4 —  $(\rho_l, T)$ -данные, 5 —  $(\rho_g, T)$ -данные, 6 — изохора  $\rho = \rho_{cell} > \rho_c$

Таблица 1

**Экспериментальные  $(\rho_l, \rho_g, T)$ -данные и результаты расчетов**

$T, K$	318,583	318,678	318,707	318,709
$\tau$	$3,988 \cdot 10^{-4}$	$1,0072 \cdot 10^{-4}$	$9,727 \cdot 10^{-6}$	$3,452 \cdot 10^{-6}$
$\rho_g, \text{ кг}/\text{м}^3$	646,79	682,70	716,37	724,76
$\rho_l, \text{ кг}/\text{м}^3$	837,84	800,99	768,31	760,21
$\rho_g, \text{ кг}/\text{м}^3$	646,565*	682,596*	715,406*	723,337*
$\rho_l, \text{ кг}/\text{м}^3$	837,667*	800,016*	767,939*	759,978*
$f_s(10)$	0,1288	0,0798	0,0350	0,0239
$y_{exp}$	0,00702	0,0180	0,0251	0,0301
$ur_{exp}$	0,00710	0,00346	0,02697	0,04754
$f_d exp$	$9,140 \cdot 10^{-4}$	$2,757 \cdot 10^{-4}$	$9,443 \cdot 10^{-4}$	$11,36 \cdot 10^{-4}$
$f_d(13)$	$6,346 \cdot 10^{-4}$	$2,166 \cdot 10^{-4}$	$3,619 \cdot 10^{-5}$	$1,604 \cdot 10^{-5}$

\* Значения плотности  $\rho_l$  и  $\rho_g$  рассчитаны по формулам (10), (11), (13) (см. ниже).

$\rho = \rho_{cell} = 743,5 \text{ кг}/\text{м}^3 > \rho_c$ , где  $\rho_{cell} = M/V$  — величина, определяемая массой образца в ячейке  $M$  и ее объемом  $V$  [1] ;

— температура  $T_{cross}$ , которая отвечает неравенству  $317,823 \text{ К} > T_{cross} > 318,123 \text{ К}$  и отмечена точкой  $d$  на рис. 2.

В литературе имеются  $(\rho_l, \rho_g, T)$ -данные на фиксированных высотах  $h_t$  в ячейке, выполненной в виде горизонтального цилиндра и содержащей двухфазный образец гексафтормолибдена  $C_6F_6$  [10] и перфтороктана  $CF_3(CF_2)_6CF_3$  [11]. В этих работах выявлен гравитационный эффект в виде зависимости  $\rho(h_t)$  для плотности вещества на фиксированной высоте  $h_t$ , которая отсчитывается от нижней точки внутренней поверхности цилиндра, как показано на рис. 1 (позиция 4). При этом температура является фиксированной.

Рассмотрим результаты работы [10] более подробно. В работе представлены:

- экспериментальные  $(\rho_l, \rho_g, T)$ -данные в диапазоне температур 298,79—516,7 К при  $g = 9,8 \text{ м}/\text{с}^2$ ;
- данные о давлении насыщения  $P$ ;
- значения  $T_c$  и  $\rho_c$ .

Эксперимент [10] показывает, что наличие гравитационного компонента  $P_g \approx \rho g h$  приводит к тому, что вдали от  $T_c = 516,62 \text{ К}$  при  $\tau > 2 \cdot 10^{-4}$  на распределении  $\rho(h)$  присутствует скачок ( $\rho_l - \rho_g$ ), тогда как в критической области ( $0 < \tau < 2 \cdot 10^{-4}$ ) эксперимент [10] выявил не скачок, а непрерывную зависимость  $\rho(h)$  на изотермах 515,98, 516,28 и 516,57 К, то есть при указанных температурах в образце отсутствует граница в виде мениска между жидкой и газовой фазами.

В отличие от [10], в экспериментах [1] мениск наблюдается в области ( $3 \cdot 10^{-6} < \tau < 2 \cdot 10^{-4}$ ), то есть для  $SF_6$  на изотермах, отвечающих условию  $\Delta T \geq 1 \times 10^{-3} \text{ К}$ , отсутствует связанный с гравитацией непрерывная зависимость  $\rho(h)$ . При этом экспериментальные  $(h, T)$ -данные [1] получены в области значений  $\tau$ , где отсутствуют экспериментальные  $(\rho_l, \rho_g, T)$ -данные.

### Оценка положения мениска в ячейке

Для решения сформулированной в работе задачи проведен представленный ниже анализ.

На бинодали SF<sub>6</sub> (рис. 2) присутствуют критическая точка и две изохоры:

- $\rho = \rho_c$  (линия 3) или критическая изохора, реализуемая в ячейке [10];
- $\rho = \rho_{cell} > \rho_c$  (линия 6).

Рассмотрим два состояния образца на изохоре  $\rho = \rho_{cell}$ :

а) состояние 0:  $T_0 = T_{cross}$  при  $g = 9,8 \text{ м/с}^2$ , верхняя и нижняя части имеют равные объемы  $V_g = V_l = V/2$  (точка d, рис. 2),  $h = 0$  (уровень 3, рис. 1);

б) состояние 1: после нагрева температура образца отвечает неравенству  $T_{CX} > T_1 > T_{cross}$ , где  $T_{CX}$  — температура, которая относится к точке c (рис. 2), лежащей на линии насыщения;  $T_{cross}$  — температура, которая относится к точке d (рис. 2); в точке c плотность отвечает равенству  $\rho_l$  ( $T_{CX}$ ) =  $\rho_{cell}$ .

Сформулируем вопрос: на какой высоте  $h$  (позиция 3, рис. 1) будет находиться мениск образца, помещенного в ячейку [1], в изохорическом процессе перехода от состояния 0 к состоянию 1?

Для ответа на этот вопрос принимаем, во-первых, что в указанных состояниях образца гравитационный эффект значительно уменьшен; например, в условиях, когда установка размещена на космической лаборатории, гравитационный эффект снижается, так как ускорение является малой величиной ( $0 < g < 9,8 \text{ м/с}^2$ ). Как уже указывалось, в опыте [10] ( $\rho_l$ ,  $\rho_g$ ,  $T$ )-измерения выполняются при  $g = 9,8 \text{ м/с}^2$  и гравитационный эффект существенно влияет на полученные результаты.

Во-вторых, рассматриваем некоторые этапы перехода образца из состояния 0 в состояние 1, когда выполняются условия  $T_{CX} > T_1 > T_{cross}$  и  $\rho = \rho_{cell}$ .

На этапе 1 для образца в состоянии 0 введем равенство

$$\rho_{cell} = [\rho_l(T_{cross})V/2 + \rho_g(T_{cross})V/2]V = D_m(T_{cross}) \quad (\text{позиция 6, рис. 2}),$$

где  $D_m(T) = [\rho_l(T) + \rho_g(T)]/2$  — средняя плотность, которая равна среднему значению между ортобарическими плотностями (позиция 2, рис. 2). Известна связь между  $D_m(T)$  и средним диаметром  $f_d$ , который задается как

$$f_d = [\rho_l(T) + \rho_g(T)]/(2\rho_c(T) - 1),$$

$$\text{т. е. } D_m(T) = \rho_c[1 + f_d(T)].$$

На этапе 2 нагреем образец и переведем из состояния 0 в состояние 1 с температурой  $T_1$ ; при этом выполняются условия  $T_{CX} > T_1 > T_{cross}$  и  $\rho = \rho_{cell}$ . Этому состоянию соответствует точка c (рис. 2). В состоянии 1 мениск является смещенным и отвечает линии 2 (рис. 1).

На этапе 3 рассматриваем:

а) баланс массы образца для состояния 1 в виде:

$$V_g\rho_g + (V - V_g)\rho_l = V\rho_{cell}, \text{ откуда}$$

$$V_g/V = (\rho_{cell} - \rho_l)/(\rho_g - \rho_l); \quad (1)$$

В ряде работ функцию  $f_d$  именуют как прямолинейный диаметр; например, см. [8] и линию 1 (рис. 2).

б) функции от величин, входящих в (1),

$$\Delta\rho_l = \rho_l/\rho_c - 1; \Delta\rho_g = 1 - \rho_g/\rho_c; \Delta\rho_{cell} = (\rho_{cell} - \rho_c)/\rho_c$$

и отношение  $V_g/V$  в форме:

$$V_g/V = \Delta\rho_l/(\Delta\rho_l - \Delta\rho_g) - \Delta\rho_{cell}/(\Delta\rho_l - \Delta\rho_g); \quad (2)$$

(в) функции  $(f_d, f_s)$  в виде:

$$f_d = (\rho_l + \rho_g)/2\rho_c - 1 = (\Delta\rho_l + \Delta\rho_g)/2, \quad (3)$$

$$f_d = (\rho_l - \rho_g)/2\rho_c - 1 = (\Delta\rho_l - \Delta\rho_g)/2. \quad (4)$$

На этапе 4 записываем:

(а)  $\Delta\rho_{cell}$  для состояния 1 в форме:

$$\Delta\rho_{cell} = [\rho_l(T_{cross}) + \rho_g(T_{cross})]/2 = f_d(T_{cross}); \quad (5)$$

(б) изменение объема газовой фазы в виде:

$$\Delta V_g = V_g - V/2. \quad (6)$$

На этапе 5 представляем  $\Delta V_g$  как элементарный объем, который имеет малую высоту  $h$ , и площадь  $Ld$  и записываем отношение  $V_g/V$  в форме

$$\frac{\Delta V_g}{V} = \frac{hLd}{L\frac{\pi d^2}{4}} = \frac{4h}{\pi d}. \quad (7)$$

На этапе 6 используем формулы (2)–(7) и записываем высоту  $h$  как малое смещение по отношению к уровню  $h$  в виде:

$$h = \pi d[f_d(T_{cross})/f_s - ur]/8, \quad (8)$$

где  $ur = f_d/f_s$  — некоторый комплекс, зависящий от температуры.

Таким образом, установлена корреляция между величиной  $h$ , с одной стороны, и функцией  $f_s$  и комплексом  $ur$  — с другой.

В соответствии с целью данного исследования зависимость (8) можно использовать для разработки методического подхода (см. ниже) к расчету  $(\rho_l, \rho_g, T)$ -данных для  $SF_6$  с помощью  $(h, T)$ -значений, представленных в [1].

На этапе 7 для уточнения формулы (8) учитываем приведенную в [1] величину  $f_d(T_{cross}) = \Delta\rho_{cell} = 2 \cdot 10^{-3}$  и значение  $x = 6 \cdot 10^{-2}$ , представляющее собой поправку на эффективный объем ячейки. Это позволяет записать зависимость  $y(\tau)$  в виде

$$y = \frac{\pi}{4} \left( -ur + \frac{0,002}{f_s} \right) (1 + x), \quad (9)$$

где  $y = 2h/d = h/R$  — относительная высота мениска.

### Методика расчета

Для расчета  $(\rho_l, \rho_g, T)$ -зависимостей для  $SF_6$  используем уравнение (9) и  $(h, T)$ -данные, полученные в эксперименте [1] для температур, указанных в табл. 1. Функция  $f_s(T)$ , которая входит в (9), является важным компонентом при реализации рассматриваемого подхода.

На первом этапе выбираем форму  $f_s(T)$  для  $SF_6$  в виде [2, 12]:

$$f_s = B_{s_0}\tau^\beta + B_{s_1}\tau^{\beta+\Delta} + B_{s_2}\tau^{\beta+2\Delta} + B_{s_3}\tau^2 + B_{s_4}\tau^3, \quad (10)$$

где  $\beta = 0,347$  — критический показатель  $SF_6$  [2];  $\Delta = 0,5$  — асимптотическая поправка;  $B_{s_i}$  ( $i = 0—4$ ) — регулируемые коэффициенты, представленные в [2].

Указанная форма  $f_s(T)$  отвечает условиям масштабной теории (МТ) критических явлений [5, 13], опирается на  $(\rho_l, \rho_g, T)$ -данные [3] для  $\text{SF}_6$  в интервале  $(0,3 < \tau < 10^{-3})$  и содержит известные значения критических параметров и  $B_{s_i}$  ( $i = 0-4$ ).

На втором этапе для условий эксперимента [1] при некоторой температуре  $T$ , которая соответствует интервалу  $(10^{-6} < \tau < 10^{-3})$ , выбираем значение  $y$ , полученное в эксперименте [1], и по уравнению (10) вычисляем соответствующее данной температуре значение  $f_s$ . С использованием этих значений и уравнения (9) вычисляем  $ur$  и  $f_d$ .

На заключительном этапе определяем искомые плотности при температуре  $T$  с использованием соотношений:

$$\rho_l = (f_d + f_s + 1)\rho_c; \quad \rho_g = (f_d - f_s + 1)\rho_c. \quad (11)$$

По этой методике на основании отобранных экспериментальных ( $y_{exp}, T, i = 1-4$ ) данных [1] для  $(10^{-6} < \tau < 10^{-2})$  были рассчитаны величины  $\rho_l$  и  $\rho_g$ . В табл. 1 приведены некоторые результаты, полученные при расчетах на последовательных этапах реализации предложенной методики:

- а)  $(f_{s_i}, T_i, i = 1-4)$ -данные, рассчитанные по (10);
- б)  $(ur_i, T_i, i = 1-4)$ -данные, рассчитанные по (9) с использованием  $(y_{exp_i}, T_i, i = 1-4)$ ;
- в)  $(f_{d_i}, T_i, i = 1-4)$ -данные, рассчитанные по (9) с использованием  $(ur_{exp_i}, T_i, i = 1-4)$ ;
- г)  $(\rho_l, \rho_g, T_i, i = 1-4)$ -данные, рассчитанные по уравнениям (11) с использованием соответствующих полученных численных данных для  $3 \cdot 10^{-6} < \tau < 4 \cdot 10^{-4}$ ; эти величины не определялись в [1].

### Анализ моделей и полученных результатов

Анализ уравнений (8) и (9) совместно с данными табл. 1 и известными моделями  $f_d(T)$  показывает, что когда заполнение горизонтальной цилиндрической ячейки соответствует  $\rho_{cell} = \rho_c$ , формула (8) содержит неопределенность. В этом случае она не может использоваться. При этом в той же степени усложняется поиск формулы для высоты мениска  $h_r$ . Подобная задача рассмотрена в [7] при совместном исследовании функции  $h_r(T)$  и зависимостей  $\rho_l(T)$  и  $\rho_g(T)$  для  $\text{C}_6\text{F}_6$ . При ее решении привлекались опытные  $(\rho_l, \rho_g, T)$ -данные [10].

В результате получены перечисленные ниже выводы.

1. Применительно к условиям экспериментов [1] выполняются следующие соотношения:

- а) если  $T \rightarrow T_{cross}$ , то  $h \rightarrow 0$ , т.к.  $ur = f_d(T_{cross})/f_s(T_{cross})$  при  $T_{cross}$ ;
- б) если  $T \rightarrow T_{CX}$ , то выполняются корреляции  $h \rightarrow r$  и  $\rho_l \rightarrow \rho_{cell}$ ;
- в) если  $T_{cross} < T < T_{CX}$ , то  $h > 0$  в соответствии с экспериментом (рис. 3); в этом случае при росте температуры комплекс  $ur$  убывает от значения  $f_d(T_{cross})/f_s(T_{cross})$  и отвечает условию  $ur > 0$ ;
- г) из полученного неравенства  $ur > 0$  вблизи критической точки ( $3 \cdot 10^{-6} < \tau < 4 \cdot 10^{-4}$ ) можно заключить, что функция  $f_d(T)$  является положительной и средняя плотность  $D_m(T)$  отвечает линии 2 (рис. 2);
- д) можно принять гипотезу  $f_d = D_{d_1}\tau^{2\beta} > 0$ ; в наших работах [2, 4, 14] также приводятся аргументы, обосновывающие соотношение  $f_d > 0$  в критической области.

2. Входящий в (8) комплекс  $ur$  играет существенную роль в критической области; так, функцию  $h(T)$  можно записать в виде:

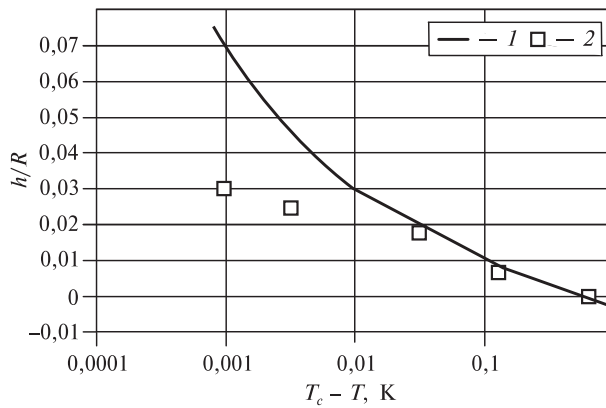


Рис. 3. Функция  $y(T)$ :  
1 — расчет по уравнениям (9), (10), (13); 2 — эксперимент

$$h = \pi d \cdot ur [f_d(T_{cross})/f_d(T) - 1]/8. \quad (12)$$

В условиях экспериментов [1] величина  $h$  изменяется от 0 до 0,15 мм, а комплекс  $ur$  убывает примерно от  $2 \cdot 10^{-3}$  до  $2 \cdot 10^{-4}$ .

3. В ряде работ, включая [5], для некоторых веществ в критической области рассматривается случай  $f_d(T) < 0$ . При этом вблизи критической точки должны выполняться неравенства  $dD_m/dT < 0$  и  $D_m < \rho_c$ , т. е. функция  $D_m(T)$  должна иметь участок, расположенный ниже критической изохоры. Так, авторы [5] построили функцию:

$$f_d = B_{d_0}\tau^{1-\alpha} + B_{d_1}\tau^{2\beta} + B_{d_2}\tau,$$

где  $B_{d_0} > 0$  и  $B_{d_1} < 0$  в критической области.

Для этого случая нами представлена функция  $D_m(T)$ , изображаемая линией 7 на рис. 4, которая соответствует  $f_d(T) < 0$ .

Отметим, во-первых, что авторы [5] также адаптировали рассматриваемую модель  $f_d(T)$  к  $(\rho_l, \rho_g, T)$  данным, представленным в [6]. Соответствующая функция  $D_m(T)$  совпадает с линией 2 (рис. 2), построенной на основании данных [6]. В этом случае коэффициент  $B_{d_1}$ , входящий в лидирующий (вносящий наибольший вклад) компонент этой модели, равен 1,0864. Это значение определяет заметную кривизну функции  $D_m(T)$ : на рис. 2 можно видеть существенное отклонение линии 2 от линии 1 в критической области.

Во-вторых, в литературе наряду с  $f_d(\tau)$  описана линейная зависимость  $f_d = B_0 + B_1\tau$ , которая построена на основе данных [6]. Соответствующая ей функция  $D_m(T)$  представлена на рис. 2 (линия 1); можно видеть совпадение линии 2 и линии 1 вдали от критической области.

Рассмотренные выше результаты дают возможность построить модифицированный массив, который включает  $(\rho_l, \rho_g, T)$ -данные, полученные в эксперименте [3], и  $(\rho_l, \rho_g, T)$ -данные, приведенные в табл. 1. Этот массив охватывает интервал  $3 \cdot 10^{-6} < \tau < 0,3$ .

### Расчет некоторых свойств $SF_6$ на кривой насыщения

Чтобы оценить степень согласия расчетных значений, приведенных в табл. 1, с известными экспериментальными  $(\rho_l, \rho_g, T)$ -данными, рассмотрим модель среднего диаметра [2], которая записывается в форме:

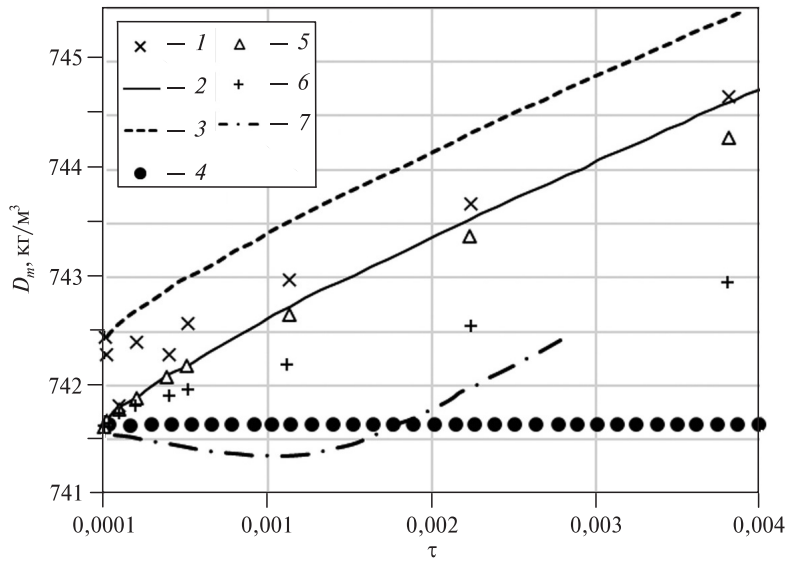


Рис. 4. Зависимость средней плотности  $D_m$  от  $\tau$ :

1 — экспериментальные значения, полученные с помощью модифицированного массива; 2 — функция, построенная на основании величин  $\rho_l$  и  $\rho_g$ , вычисленных по уравнениям (11); 3 — заданная граница  $D_m(\tau) + \Delta D$ ; 4 — изохора  $\rho = \rho_c$ ; 5 — функция  $B_{d_0}\tau^{1-\alpha} + B_{d_1}\tau^{2\beta}$ (13); 6 — функция  $B_{d_1}\tau^{2\beta}$ ; 7 — функция  $B_{d_0}\tau^{1-\alpha} + B_{d_1}\tau^{2\beta}$  при  $B_{d_1} < 0$

$$f_d = B_{d_0}\tau^{1-\alpha} + B_{d_1}\tau^{2\beta} + B_{d_2}\tau^{1-\alpha-\Delta} + B_{d_3}\tau^2 + B_{d_4}\tau^3. \quad (13)$$

Модель (13) отвечает условиям МТ [5, 12], в том числе содержит лидирующий компонент  $B_{d_1}\tau^{2\beta}$ . При этом выполняется неравенство  $2\beta < 1 - \alpha$ , обусловленное МТ. Значения параметров, входящих в выражения (10) и (13), получены в [2] с помощью нелинейного метода наименьших квадратов (НМНК) [4, 14]; при этом в качестве исходных были выбраны  $(\rho_l, \rho_g, T)$ -данные [3] для интервала  $2 \cdot 10^{-4} < \tau < 0,3$ .

Представляет интерес построить модели (11), включающие компоненты (10) и (13), на основе модифицированного  $(\rho_l, \rho_g, T)$ -массива и НМНК. В рамках данного подхода было принято рассмотренное выше приближение  $f_d = B_{d_1}\tau^{2\beta} > 0$  и вариант  $B_{d_0} > 0$ . В качестве начального приближения выбираем приведенные в [2] другие параметры моделей (10) и (13). В итоге НМНК позволил определить характеристики  $D = (\rho_c, T_c, \alpha, \beta, \dots)$  и остальные коэффициенты моделей (10) и (13) (табл. 2). Этот вариант моделей (10), (11) и (13) основан на модифицированном исходном массиве и работает в интервале  $3 \cdot 10^{-6} < \tau < 0,3$ .

Анализируя качество полученных моделей (11), включающих компоненты (10) и (13), отметим следующее.

Таблица 2

**Параметры моделей (10), (13)**

$\rho_c, \text{кг/м}^3$	$T_c, \text{К}$	$\alpha$	$\beta$	$B_s$	$B_{s_1}$	$B_{s_2}$
741,645	318,7101	0,1112	0,3477	1,95825	0,021714	-0,060572
$B_{s_3}$	$B_{s_4}$	$B_{d_0}$	$B_{d_1}$	$B_{d_2}$	$B_{d_3}$	$B_{d_4}$
-0,938958	1,211974	0,25941	0,08521	1,02283	-0,84764	0,620608

1. Сравнение критических параметров, приведенных в [1]  $T_c = 318,723 \pm 0,001$  К,  $\rho_c = 742,15$  кг/м<sup>3</sup> со значениями, представленными в табл. 2, дает относительные отклонения  $\delta T_c = 0,004\%$  и  $\delta \rho_c = 0,047\%$ .

2. В [1] приводится плотность  $\rho_{cell} = 743,5$  кг/м<sup>3</sup>, рассчитанная на основании массы образца и объема ячейки с учетом поправок на его деформацию и балластный объем. Этой величине на рис. 2 соответствует точка *c*, в которой  $\rho_{cell} = 1,002\rho_c = \rho_i$  и  $T = T_{CX}$ ; при этом выполняются условия  $T_{CX} \approx T_c - 0,4 \cdot 10^{-6}$  К и  $\tau_{CX} = 1,2 \cdot 10^{-9}$ .

Наряду с точкой *c*, в которой выполняется условие  $\rho_i(c) = 1,002\rho_c$ , рассмотрим точку *c\**, которая лежит на газовой ветви бинодали и является симметричной точке *c* относительно  $\rho_c$ ; т. е. в этом случае  $\rho_g(c^*) = 0,998\rho_c = 740,516$  кг/м<sup>3</sup>.

3. Если плотность на бинодали описывается моделями (11), включающими компоненты (10) и (13), то в точке *c* (рис. 2) с использованием значений  $T_c$ ,  $\rho_c$  и  $\tau_{CX}$  из табл. 2 получаем  $\rho_i^* = 742,81$  кг/м<sup>3</sup>. Аналогично для точки *c\** с температурой  $T_{CX} = 318,7100996$  К получаем  $\rho_g^* = 740,48$  кг/м<sup>3</sup>. Отклонения величин плотности составляют  $\delta \rho_{cell} = 100 \cdot [\rho_{cell}^*(c^*) - \rho_i^*]/\rho_i^* = 0,09\%$  и  $\delta \rho_g = 100 \cdot [\rho_g^*(c^*) - \rho_g^*]/\rho_g^* = 0,004\%$ . Эти результаты сравнения показывают, что модели (11), включающие компоненты (10) и (13), удовлетворительно согласуются с указанными свойствами, которые приведены в [1] и лежат вблизи  $T_c$ .

4. Сравнение расчетных данных о функции  $y(DT)$ , найденных с помощью (9), (10) и (13), со значениями  $y(\Delta T)$ , полученными экспериментально, где  $\Delta T = T_c - T$ , приводится на рис. 3 в интервале  $10^{-6} < t < 10^{-2}$ . Оно показывает, что расчетные величины удовлетворительно согласуются с соответствующими экспериментальными. Заметные отклонения выявлены при  $0,001 < \Delta T < 0,010$  К (рис. 3), или при  $3 \cdot 10^{-6} < \tau < 5 \cdot 10^{-4}$ . Это связано с тем, что расчетные значения функции  $y(\Delta T)$  резко возрастают при  $T \rightarrow T_c$ , так как входящий в (9) компонент  $0,002/f_s$  стремится к  $\infty$ . Такие расхождения между расчетными и экспериментальными значениями  $y(\Delta T)$  вблизи  $T_c$  могут быть уменьшены путем варьирования параметра  $f_d(T_{cross})$  в пределах погрешности эксперимента.

5. В интервале  $3 \cdot 10^{-6} < \tau < 0,3$  средние квадратические отклонения  $S_l$  и  $S_g$  величин  $\rho_i$  и  $\rho_g$ , вычисленных по уравнениям (11), от значений, входящих в модифицированный массив, составляют 0,029 % и 0,067 % соответственно. Максимальное локальное отклонение составляет 0,22 % при 318,709 К. При этом экспериментальные  $(\rho_i, \rho_g, T)$ -данные [3], включенные в указанный массив, имеют погрешность 0,1 % по оценке авторов [3].

6. Полученные в [6] экспериментальные  $(\rho_i, \rho_g, T)$ -данные для  $SF_6$  были использованы в ряде исследований, включая [5], с целью построения скейлинговых моделей  $f_s(\tau)$ ,  $f_d(\tau)$ ,  $D_m(\tau)$  и др. В интервале  $3 \cdot 10^{-4} < \tau < 0,2$  для указанных данных рассчитано среднее арифметическое отклонение  $\delta \rho_M = (\Sigma \delta \rho_i)/N \approx -1\%$ , где  $N$  — число измерений. Эта погрешность существенно влияет на погрешность функций  $f_d$ ,  $D_m$  и других, которые связаны с  $(\rho_i, \rho_g, T)$ -данными [6].

7. На рис. 4 представлены значения  $D_m(\tau)$ , рассчитанные с использованием (13), а также верхняя граница  $D_m(\tau) + \Delta D_m$ , где  $\Delta D_m = 0,001\rho_c$  — принятый допуск, обусловленный погрешностью данных, входящих в модифицированный массив в критической области. Видно, что полученные из эксперимента значения  $D_m$  не выходят за верхнюю границу в интервале  $3 \cdot 10^{-6} < \tau < 10^{-3}$ . Эти результаты показывают, что в критической области выражение (13) позволяет

заметно уточнить как значения  $D_m(\tau)$ , приведенные в [5, 8], так и величину коэффициента  $B_{d_1}$ , входящего в лидирующий компонент модели [5]. В соответствии с (13) при малых  $\tau$  зависимость  $D_m(\tau)$  можно выразить как

$$D_m(\tau) = \rho_c(1 + B_{d_0}\tau^{1-\alpha} + B_{d_1}\tau^{2\beta}),$$

где  $B_{d_0}$  и  $B_{d_1}$  — коэффициенты, приведенные в табл. 2. Из рис. 4 можно видеть существенную кривизну зависимости  $D_m(\tau)$  при  $B_{d_1} > 0$ .

8. В [17] разработана система взаимосогласованных уравнений (СВУ), которая описывает ряд термодинамических свойств на бинодали  $SF_6$  в диапазоне от температуры тройной точки  $T_t$  до  $T_c$ . Представляет интерес сравнение результатов расчетов, проведенных по имеющимся в литературе [3, 17] уравнениям, и расчетов, которые сделаны по формулам (11), включающим компоненты (10) и (13). Средний диаметр  $f_d^{[17]}$ , играющий важную роль в критической области, описывается уравнением:

$$f_d^{[17]} = B_{2\beta}\tau^{2\beta} + B_{1-\alpha}\tau^{1-\alpha} + B_\tau\tau + o(\tau), \quad (14)$$

где  $o$  — символ Ландау.

В соответствии с рекомендациями [18] приняты следующие значения коэффициентов уравнения (14):  $B_{2\beta} = 0,06261481$ ,  $B_{2\beta}/B_{1-\alpha} = 0,21383431$ ,  $B_{2\beta}/B_\tau = 0,14080154$  [17].

На рис. 5 (см. цв. вкладку) представлены в зависимости от относительной температуры  $\tau$  относительные отклонения плотности, вычисленные по формуле

$$\delta\rho_{l,g} = 100 \cdot (\rho_{l,g}^{calc} - \rho_{l,g}) / \rho_{l,g}^{calc}, \quad (15)$$

где  $\rho_{l,g}$  — значения плотностей, представленные в литературе;  $\rho_{l,g}^{calc}$  — соответствующие расчетные значения.

Для построения зависимостей, представленных на рис. 5, использованы величины  $\rho_l$  и  $\rho_g$ :

- рассчитанные по уравнениям (10), (11) и (13) и приведенные в табл. 1;
- определенные экспериментально Funke с соавт. [3] и рассчитанные согласно [3];
- рассчитанные на основе СВУ [17].

Анализ данных, приведенных на рис. 5, показывает, что в асимптотической окрестности критической точки:

1. Плотности, рассчитанные по уравнениям (10), (11) и (13), хорошо согласуются с экспериментальными значениями (линии 1 и 2) и с рассчитанными на основе СВУ [17] (линии 5 и 6).

2. При  $\tau \geq 5 \cdot 10^{-5}$  имеется удовлетворительное соответствие результатов расчетов по уравнениям (10), (11) и (13) и по уравнениям Funke с соавт. [3] (линии 3 и 4); при  $\tau < 5 \cdot 10^{-5}$  между этими группами данных имеются существенные расхождения.

3. Результаты расчетов по уравнениям (10), (11) и (13) удовлетворительно согласуются с экспериментальными данными Funke с соавт. [3] (линии 9 и 10).

## ЗАКЛЮЧЕНИЕ

Предложен метод определения величин плотностей жидкости и паровой фазы на бинодали  $SF_6$  вблизи критической точки с использованием:

- а) экспериментальных данных ( $h, T$ ), полученных в эксперименте Garrabos с соавт. [1] на двухфазном образце  $SF_6$ ;

б) параметра порядка  $f_s(\tau)$  в аналитической форме, соответствующей масштабной теории критических явлений и опирающейся на прецизионные  $(\rho_l, \rho_g, T)$ -данные Funke с соавт. [3] в интервале  $10^{-3} < \tau < 0,3$ ;

в) зависимости  $h(T)$  в форме (9), которая является важным компонентом в рассматриваемом подходе и исследована в [1].

Установлено, что реализация этого метода позволяет рассчитать температурную зависимость величин  $\rho_l$  и  $\rho_g$  в малоисследованной как в экспериментальном, так и теоретическом планах области  $3 \cdot 10^{-6} < \tau < 2 \cdot 10^{-4}$  вблизи критической точки.

Предложены методики расчета параметра порядка  $f_s$  и среднего диаметра  $f_d$  на основе нелинейного метода наименьших квадратов и модифицированного массива  $(\rho_l, \rho_g, T)$ -данных, полученного в ходе данного исследования и охватывающего интервал  $3 \cdot 10^{-6} < \tau < 0,3$ . Определены регулируемые параметры (табл. 2), которые используются в этих расчётах.

Исследованы зависимости  $f_s$ ,  $f_d$  и средней плотности  $D_m$  от  $\tau$ . Рассчитаны  $(\rho_l, \rho_g, T)$ -данные с применением уравнений (10), (11) и (13), а также параметров (табл. 2) в широком интервале температур.

В результате исследования подтверждена существенная кривизна зависимости  $D_m(\tau)$  в асимптотической окрестности критической точки. Показано, что новые расчётные данные о плотности  $SF_6$  удовлетворительно согласуются с надежными экспериментальными результатами [3].

## СПИСОК ЛИТЕРАТУРЫ

1. Garrabos Y., Lecoutre C., Marre S., Beysens D., Hahn I. // Phys. Rev. E. 2018. Vol. 97. P. 020101(R).
2. Vorob'ev V.S., Ochkov V.F., Rykov V.A., Rykov S.V., Ustyuzhanin E.E., Pokholchenko V.A. // J. Phys.: Conf. Ser. 2019. Vol. 1147. P. 012016.
3. Funke M., Kleinrahm R., Wagner W. // J. Chem. Thermod. 2001. Vol. 34. P. 735.
4. Устюжанин Е.Е., Шишаков В.В., Рыков В.А., Попов П.В., Френкель М.Л. // Вестник МЭИ. 2011. № 6. С. 167.
5. Fisher M.E., Orkoulas G. // Phys. Rev. Lett. 2000. Vol. 85. P. 696.
6. Weiner J., Langley K.H., Ford Jr. N.C. // Phys. Rev. Lett. 1974. Vol. 32. P. 879.
7. Воробьев В.С., Устюжанин Е.Е., Очков В.Ф., Шишаков В.В., Аунг Ту Ра Тун, Рыков В.А., Рыков С.В. // Теплофизика высоких температур. 2020. Т. 58. С. 355.
8. Pestak M.W., Goldstein R.E., Chan M.H.W., de Bruyn J.R., Balzarini D.A., Ashcroft N.W. // Phys. Rev. 1987. Vol. 36. P. 599.
9. Рыков С.В., Кудрявцева И.В., Рыков В.А. // Вестник Международной академии холода. 2018. № 4. С. 28.
10. Stankus S.V., Khairulin R.A. // Int. J. Thermophys. 2006. Vol. 27. P. 1110.
11. Хайрулин Р.А., Станкус С.В. // Журн. Физ. химии. 2021. Т. 95. С. 529.
12. Устюжанин Е.Е., Шишаков В.В., Абдулгатов И.М., Попов П.В., Рыков В.А., Френкель М.Л. // Сверхкритические Флюиды: Теория и Практика. 2012. Т. 7. № 3. С. 30.
13. Анисимов М.А., Рабинович В.А., Сычев В.В. Термодинамика критического состояния индивидуальных веществ. М.: Энергоиздат, 1990. 190 с.
14. Ochkov V.F., Rykov V.A., Rykov S.V., Ustyuzhanin E.E., Znamensky B.E. // J. Phys.: Conf. Ser. 2018. Vol. 946. P. 012119.
15. Zhao W., Wang L., Wu L., Li L., Cai J. // J. Chem. Phys. 2013. Vol. 138. P. 234502.
16. Zhou Z., Cai J., Hu Y. // Molecular Physics. 2022. Vol. 120. P. e1987541.
17. Кудрявцева И.В., Рыков С.В., Рыков В.А., Устюжанин Е.Е. // Теплофизика высоких температур. 2023. Т. 61. С. 514.
18. Wang L., Zhao W., Wu L., Li L., Cai J. // J. Chem. Phys. 2013. Vol. 139. P. 124103.

## ADAPTATION OF $(h, T)$ -DATA TO CALCULATE SOME THERMODYNAMIC PROPERTIES OF SF<sub>6</sub> ON SATURATION CURVE

**E.E. Ustyuzhanin** — National Research University Moscow Power Engineering Institute, Moscow, Russia. ORCID: 0000-0001-8919-9797. E-mail: evgust@gmail.com (*for correspondence*)

**V.F. Ochkov** — National Research University Moscow Power Engineering Institute, Moscow, Russia. E-mail: ochkov@twt.mpei.ac.ru

**S.V. Rykov** — ITMO University, St. Petersburg, Russia. ORCID: 0000-0003-0428-9625. E-mail: togg1@yandex.ru

**I.V. Kudryavtseva** — ITMO University, St. Petersburg, Russia. ORCID: 0000-0002-7718-9660. E-mail: neva0175@mail.ru

**V.A. Rykov** — ITMO University, St. Petersburg, Russia. ORCID: 0000-0003-4694-6590. E-mail: rykov-vladimir@rambler.ru

Information on the behavior of the SF<sub>6</sub> density on the binodal in the asymptotic vicinity of the critical point  $3 \cdot 10^{-4} < \tau < 2 \cdot 10^{-4}$ , where  $\tau = (T_c - T)/T_c$  — relative temperature,  $T_c$  — critical temperature is presented. The densities of the liquid ( $\rho_l$ ) and vapor ( $\rho_g$ ) phases were calculated based on the experimental data of Garrabos et al. (2018) about the height  $h$  at which the meniscus is located separating the two phases of the sample in a horizontal cell with a diameter  $d$  at a temperature  $T$  under conditions of Earth gravity. As the second component of the method, the order parameter  $f_s(\tau)$  is considered in analytical form, which corresponds to the scale theory (ST) of critical phenomena and is based on  $(\rho_l, \rho_g, T)$ -data from Funke et al. (1998) for SF<sub>6</sub> in the range  $10^{-3} < \tau < 0.3$ . Several problems are formulated, including the construction of dependences  $\rho_l(\tau)$  and  $\rho_g(\tau)$ , corresponding to ST and correlating with  $(h, T)$ -data for  $10^{-6} < \tau < 10^{-3}$ . The relationship between  $(h, T)$  data and the functions  $f_s(\tau)$  and  $f_d(\tau)$  (where  $f_d$  is the average or rectilinear diameter) is investigated. The dependences of  $\rho_l(\tau)$  and  $\rho_g(\tau)$  on temperature in the range  $10^{-6} < \tau < 10^{-3}$  were calculated. The dependences  $\rho_l(\tau)$  and  $\rho_g(\tau)$  that correspond to ST and working satisfactorily in the range  $10^{-3} < \tau < 0.3$  were constructed.

**Key words:** saturation line, density, sulfur hexafluoride, order parameter, rectilinear diameter.

## REFERENCES

1. Garrabos Y., Lecoutre C., Marre S., Beysens D., Hahn I. // Phys. Rev. E. 2018. Vol. 97. P. 020101(R).
2. Vorob'ev V.S., Ochkov V.F., Rykov V.A., Rykov S.V., Ustyuzhanin E.E., Pokholchenko V.A. // J. Phys.: Conf. Ser. 2019. Vol. 1147. P. 012016.
3. Funke M., Kleinrahm R., Wagner W. // J. Chem. Thermod. 2001. Vol. 34. P. 735.
4. Ustyuzhanin E.E., Shishakov V.V., Rykov V.A., Popov P.V., Frenkel M.L. // Vestnik MEI. 2011. No 6. P. 167 (*in Russ.*).
5. Fisher M.E., Orkoulas G. // Phys. Rev. Lett. 2000. Vol. 85. P. 696.
6. Weiner J., Langley K.H., Ford Jr. N.C. // Phys. Rev. Lett. 1974. Vol. 32. P. 879.
7. Vorob'ev V.S., Ustyuzhanin E.E., Ochkov V.F., Shishakov V.V., Aung Tu Ra Tun, Rykov V.A., Rykov S.V. // Teplofizika Vysokikh Temperatur. 2020. Vol. 58. P. 355 (*in Russ.*).
8. Pestak M.W., Goldstein R.E., Chan M.H.W., de Bruyn J.R., Balzarini D.A., Ashcroft N.W. // Phys. Rev. 1987. Vol. 36. P. 599.
9. Rykov S.V., Kudryavtseva I.V., Rykov V.A. // Vestnik Mezhdunarodnoy akademii kholoda 2018. No 4. P. 28 (*in Russ.*).
10. Stankus S.V., Khairulin R.A. // Int. J. Thermophys. 2006. Vol. 27. P. 1110.
11. Khairulin R.A., Stankus S.V. // Zhurnal Fizicheskoi Khimii 2021. Vol. 95. P. 529 (*in Russ.*).

12. Ustyuzhanin E.E., Shishakov V.V., Abdulagatov I.M., Popov P.V., Rykov V.A., Frenkel M.L. // Rus. J. Phys. Chem. B. Vol. 6. P. 912.
  13. Anisimov M.A., Rabinovich V.A., Sychev V.V. Termodinamika kriticheskogo sostoyaniya individual'nyh veshchestv. M.: Energoizdat, 1990. 190 s. (in Russ.).
  14. Ochkov V.F., Rykov V.A., Rykov S.V., Ustyuzhanin E.E., Znamensky B.E. // J. Phys.: Conf. Ser. 2018. Vol. 946. P. 012119.
  15. Zhao W., Wang L., Wu L., Li L., Cai J. // J. Chem. Phys. 2013. Vol. 138. P. 234502.
  16. Zhou Z., Cai J., Hu Y. // Molecular Physics. 2022. Vol. 120. P. e1987541.
  17. Kudryavtseva I.V., Rykov S.V., Rykov V.A., Ustyuzhanin E.E // Teplofizika Vysokikh Temperatur. 2023. Vol. 61. P. 514 (in Russ.).
  18. Wang L., Zhao W., Wu L., Li L., Cai J. // J. Chem. Phys. 2013. Vol. 139. P. 124103.
-